

 Cliente: OPISU
 Fecha: 06-12-24

 OT: 22578-24
 Página 1 de 36

Solicitado por: OPISU-Organismo Provincial de Integración Social y Urbana

Proyecto Ubicación: Polideportivo Barrio Villa El Progreso, Berisso Provincia de

Buenos Aires.

# ESTUDIO GEOTÉCNICO Y CALIDAD DE MATERIALES PARA FUNDACIÓN Y/O EXCAVACIÓN. Estudio de Condiciones Generales Ambientales.

Realizado por: Ing. Jesús Rojas

 Cliente: OPISU
 Fecha: 06-12-24

 OT: 22578-24
 Página 2 de 36

# **CONTENIDO**

1.	OBJETIVO Y ALCANCE	3
2.	METODOLOGÍA EMPLEADA PARA LA EVALUACIÓN DEL SUBSUELO,	
CARA	ACTERÍSTICAS GEOTÉCNICAS Y SITUACIÓN AMBIENTAL.	4
3.	ANTECEDENTES Y GEOMORFOLOGÍA	13
4.	PROPIEDADES GEOMECÁNICAS DE LOS MATERIALES Y ESTIMACIÓN DE	
CAPA	ACIDADES DE CARGA DEL SISTEMA DE FUNDACIONES. CALIDAD DE MATERIALES.	14
5.	PARAMETROS QUIMICOS, AIRE, AGUA Y SUELOS.	25
6.	ESTRUCTURAS DE PAVIMENTOS	25
7.	CONCLUSIONES Y RECOMENDACIONES	34
8.	BIBLIOGRAFÍA	36

 Cliente: OPISU
 Fecha: 06-12-24

 OT: 22578-24
 Página 3 de 36

#### 1. OBJETIVO Y ALCANCE

El presente informe tiene por objeto estudiar las características geotécnicas de sector de la localidad de Barrio Villa el Progreso en lote sobre la calle 21 entre calles 124 y 125, Berisso Provincia de Buenos Aires. El estudio solicitado por OPISU, se orienta principalmente a evaluar las condiciones geotécnicas y de fundación para edificaciones nuevas de tipo polideportivo. Se planifica además evaluar condiciones ambientales generales en términos de contaminación del suelo, agua y aire.

Se planifica la evaluación, en este sentido, de la calidad y propiedades geomecánicas de los materiales que conforman el suelo de la zona, estudiados en cuatro (4) perforaciones exploratorias de 10 metros de profundidad cada una. La exploración se planifica solo hasta 10 m de profundidad vinculando este alcance con la tipología estructural de posibles proyectos planificados en la zona.

El suelo de fundación es explorado y estudiado usando la Prueba de Penetración Estándar SPT, bajo la normativa ASTM D-1586. Las muestras obtenidas a cada metro de profundidad son evaluadas y caracterizadas en el laboratorio. Se reportan los resultados obtenidos tanto en sitio como en laboratorio, en las planillas correspondientes. Tal información permite estimar un perfil litológico generalizado del área en estudio, así como las propiedades físicas y geomecánicas de los materiales que conforman el suelo de fundación.

Imagen 1 Zona de Estudio, Ubicación de perforaciones. Tomada de Google Maps (2024).



**Cliente:** OPISU **Fecha:** 06-12-24 **OT**: 22578-24 **Página** 4 de 36

Finalmente se aprovecha el estudio para estimar capacidad de fundación en sistemas directos e indirectos considerando lo evaluado a cada metro explorado para edificaciones y se expresan además estructuras de pavimentos viables para tránsitos típicos de la localidad en estudio. Los trabajos de Campo exploratorios se realizan en asistencia a obra por parte de nuestro personal técnico el 01 de Noviembre de 2024.

# 2. METODOLOGÍA EMPLEADA PARA LA EVALUACIÓN DEL SUBSUELO, CARACTERÍSTICAS GEOTÉCNICAS Y SITUACIÓN AMBIENTAL.

El Estudio se desarrolla sobre terreno cuya envolvente topográfica es de predominantemente plana para la fecha. En la zona se realizan tres (4) perforaciones exploratorias, identificadas como P1, P2, P3 y P4 sobre la cual se alcanzaron profundidades de 10 m respectivamente.

Tal y como fue enunciado en el objetivo, la exploración se realiza a través de la Prueba de Penetración Estándar SPT, según Norma ASTM D-1586-99, que consiste en contar el número de golpes necesarios para hincar una saca muestras tipo cuchara partida de 2" de diámetro exterior, en 12" (30 cm) utilizando un martillo de 140 lb (63.5 Kg) de peso, con caída libre de 30" (76 cm), es decir, con una energía de 4200 libras. pulgada (48.26 Kg.m). El número de golpes requerido para alcanzar una penetración de 30 cm es registrado como índice de penetración normal SPT.

El ensayo se aplica hasta profundidades indicadas por el cliente, entendiendo que estas son estimadas en función de la edificación y/o instalaciones proyectadas logrando obtener rechazo, es decir, buscando lograr la penetración establecida para un número de golpes superiores a los 30-40, lo que implica la existencia de un material de mayor resistencia. Se recuperan muestras en los últimos 30 cm de cada metro de perforación, colocándolas en envases plásticos debidamente sellados e identificados para su traslado al laboratorio, donde fueron caracterizadas según la Normas ASTM D 2216, D 1140-00, D 422-63 y D 4318-00, correspondientes a los ensayos de contenido de humedad natural (horno a 110°C), granulometría por lavado y tamizado, límites de consistencia (LL y LP) y peso unitario húmedo.

A partir de los datos obtenidos en sitio y en laboratorio efectuados en este estudio, se elaboran perfiles litológicos por perforación y cuando sea posible generalizado, considerando los siguientes aspectos y/o criterios:

- Espesor y tipo de suelo correlacionados por similitud: según la similitud de capas de materiales existentes metro a metro, se agrupó en tipos litológicos en función de la granulometría y límites de consistencia (S.U.C.). Ello permite establecer un "amarre" vertical y diferenciar en cuanto a espesores de capas sucesivas.
- *Número de golpes SPT generalizado (N<sub>spt</sub>):* se toma la menor magnitud de los *N<sub>spt</sub>* medidos en todas las perforaciones a la misma profundidad,
- Consistencia o compacidad relativa basada en el número de golpes SPT.
- Peso unitario generalizado por metro = promedio -1,5. desviación estándar si fuese el caso.
- Esfuerzo efectivo generalizado basado en el peso unitario.



 Cliente: OPISU
 Fecha: 06-12-24

 OT: 22578-24
 Página 5 de 36

Tabla 1. Consistencia o compacidad relativa para suelos en función de Nspt. Fuente De Marco

Para Suelos Cohesivos						
Nspt	Consistencia					
< 2	Muy Blanda					
2 - 4	Blanda					
4 - 8	Mediana o Firme					
8 - 15	Compacta					
15 - 30	Muy Compacta					
> 30	Dura					
Para Suelos Grant	ulares					
Nspt	Compacidad Relativa					
< 4	Muy Suelta					
4 - 10	Suelta					
10 - 30	Medianamente Densa					
30 - 50	Densa					
> 50	Muy Densa					

- Número de golpes SPT corregido ( $N_{1(60)}$  o  $N_{(60)}$ ) generalizado en función del esfuerzo efectivo y  $N_{(60)}$  generalizado. La corrección del número de golpes SPT se realizó mediante las siguientes expresiones:
  - $N_{1(60)} = 0.7 {}_{x}C_{N\,x}N_{SPT;\;donde:}$   $C_{N} = 0.77.log(200/\sigma'_{vo})$  y  $\sigma'_{vo}$ : Esfuerzo vertical efectivo a la profundidad del ensayo propuesto por Peck (1974), para suelos granulares. En suelos finos, la corrección del número de golpes SPT se realiza sólo por energía de entrega (60%) fijándose el factor igual a 0,7.
- Contenido de humedad y Límites de consistencia generalizados son un promedio aritmético correspondiente a cada profundidad en las que se midieron.
- Módulo de elasticidad y relación Poisson es estimado mediante las siguientes correlaciones y/o tabla.

Para arenas limosas:  $E = 70\sqrt{N_{1(60)}}$  (Kg/cm2)

Tabla 2. Módulo de Elasticidad y Poisson para suelos varios, Fuente Braja Das [2]

Tipo de Suelo	lb/pulg²		М	N/r	n²	Kg	/cn	n²	Relación Poisson, μ.	
Arena Suelta	1500	-	3500	10,35	-	24,15	103	-	241	0,20 - 0,40
Arena Densa Media	2500	-	400	7,25	-	27,60	172	-	28	0,25 - 0,40
Arena Densa	5000	-	800	34,50	-	55,20	345	-	55	0,30 - 0,45
Arena Limosa	1500	-	2500	10,35	-	17,25	103	-	172	0,20 - 0,40
Arena y Grava	10000	-	25000	69,00	-	172,50	690	-	1724	0,15 - 0,35
Arcilla Suave	600	-	3000	4,10	-	20,70	41	-	207	
Arcilla Media	3000	-	6000	20,70	_	41,40	207	-	414	0,20 - 0,50
Arcilla Firme	6000	-	14000	41,40	-	96,60	414	-	966	



 Cliente: OPISU
 Fecha: 06-12-24

 OT: 22578-24
 Página 6 de 36

 Ángulo de fricción a partir del N<sub>1(60)</sub> utilizando el gráfico de correlación propuesto por Terzaghi y Peck et al (1974).

% DE FINOS NO PLASTICOS | N = VALOR REGISTRADO 100% 40% Û 60 AJUSTE POR PRESION DE CONFINAMIENTO (N<sub>1</sub>)60 N1 = 0.77 N log 40 Co en t/m2 令 20 AJUSTE POR **EFICIENCIA ENERGETICA** Û  $(N_1)60 = 0.70 N_1$ 28 30 32 34 36 40 00 ANGULO DE FRICCION INTERNA DE ARENAS LIMOSAS

Gráfico 1. Ángulo de Fricción para Arenas Limosas

 Ángulo de fricción a partir del N<sub>1(60)</sub> utilizando correlaciones propuesto por Terzaghi propuestas por Peck et al (1974). Prieto D. Marco.

 $\phi$  = (15 N1(60) )0.5 + 15 para vialidad y puentes (adaptada del Japanese Railway Standards)

ANGULO DE FRICCION INTERNA EFECTIVO DE ARENAS LIMOSAS VS SPT

 $\phi$  = 0.3 N1(60) + 27 para fundaciones superficiales (adaptada del J.R.S) Para Generalizar

 $\phi$  = 25 + 0.63 N1(60) para 5 ≤ N1(60) ≤ 20  $\phi$  = 34 + 0.18 N1(60) para 20 < N1(60) ≤ 70

 Resistencia a la compresión inconfinada y resistencia al corte no drenado para suelos cohesivos, adaptada al J.R.S. Prieto D. Marco.

qu = 0.10 N(60) (Kg/cm2) su = 0.05 N(60) (Kg/cm2)



 Cliente: OPISU
 Fecha: 06-12-24

 OT: 22578-24
 Página 7 de 36

Tabla 3. Valores Estimados de Cohesión y Fricción Según Karol 1960.

		Muestra	s Imperturba	adas			
TIPO DE SUELOS	NSPT	Cohes	Angulo de fricción				
SUELUS		(lb/pie2)	(kg/cm2)	(°)			
	<2	250	0,12 - 0,00	0			
	2 - 4	250 - 500	0,12 - 0,24	0			
SUELOS	4 - 8	500 - 1000	0,24 - 0,48	0			
COHESIVOS	8 - 15	1000 - 2000	0,48 - 0,97	0			
	15 - 30	2000 - 4000	0,97 - 1,94	0			
	>30	4000	1,94 - 0,00	0			
CUELOS NO	<10	0	0	28			
SUELOS NO COHESIVOS	10 - 30	0	0	28 - 30			
COMESIVOS	>30	0	0	32			
SUELOS	<10	100	0,05 - 0,00	8			
	10 - 30	100 - 1000	0,05 - 0,48	8 - 12			
INTERMEDIOS	>30	1000	0,48 - 0,00	12			

Tabla 4. Valores de Cu en función de Nspt Según Terzaghi y Peck (1948) Arcillas Saturadas

Nspt	Cohesión (Cu) Kg/cm <sup>2</sup>
< 2	< 0,125
2 - 4	0,125 - 0,25
4 - 8	0,25 - 0,5
8 - 15	0,5 - 1
15 - 30	1 - 2
> 30	> 2

- Módulo de Balasto Según Jimenez y Salas Cimientos III / Braja Das
- k (MN/m3) = 18 N1(60)
   k = Es/(B\*(1-μ2)) donde B es el ancho de la fundación.



 Cliente: OPISU
 Fecha: 06-12-24

 OT: 22578-24
 Página 8 de 36

Tabla 5. Módulo de Balasto, Recomendaciones o Valores Referenciales Fuente Braja Das

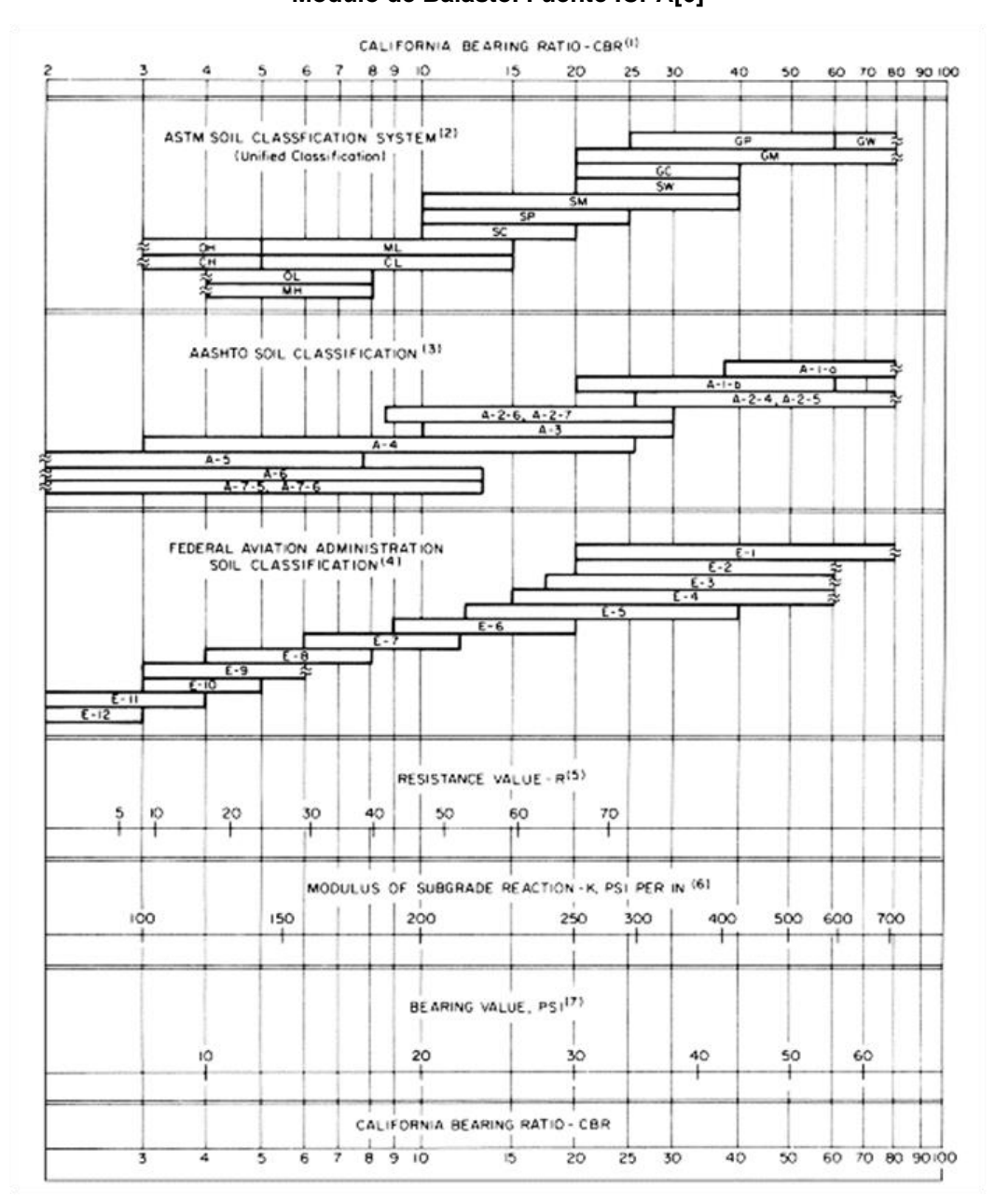
Tipo de Suelos	lb/pulg <sup>3</sup>			MN/m³			Kg/cm <sup>3</sup>				
Arena Seca o Humeda											
Suelta	29	-	92	8	-	25	1	-	2		
Media	91	-	460	25	-	125	2	-	12		
Densa	460	-	1380	125	-	375	12	-	37		
Arena Saturada											
Suelta	38	-	55	10	-	15	1	-	1		
Media	128	-	147	35	-	40	3	-	4		
Densa	478	-	552	130	-	150	13	-	15		
Arcilla	Arcilla										
Rigida	44	-	92	12	-	25	1	-	2		
Muy Rigida	92	-	184	25	-	50	2	-	5		
Dura	>	184	4	- ;	> 50	0		> 5			

- Coeficientes y presiones de Empuje activos y Pasivos
  - Coeficiente de Presión Activa de Rankie Ka =  $Tan2(45-\phi/2)$  y la presión Activa de Empuje considerando el efecto de la cohesión c, es  $\sigma a = \sigma v * Ka 2*c*(Ka)^{(1/2)}$ , no se contempla en este caso inclinación de la superficie del terraplén.
  - Coeficiente de Presión Pasiva de Rankie Kp =  $Tan2(45+\phi/2)$  y la presión Pasiva de Empuje considerando el efecto de la cohesión c, es  $\sigma p = \sigma v * Kp + 2*c*(Kp)^(1/2)$ , no se contempla en este caso inclinación de la superficie del terraplén.
  - En muchos casos de diseño, se considera nulo el efecto de la cohesión de modo de manejar situaciones más desfavorables de presiones sobre los muros o elementos de contención.
- Capacidad de carga de los suelos en función de la Teoría de Terzaghi
- Deformaciones y/o asentamientos en suelos en función de la teoría de elasticidad.
- Determinación más efectiva de resistencia a la compresión y valores de cohesión sobre suelos predominantemente cohesivos a través de ensayos de compresiones inconfinadas según lo expresado en la Norma ASTM D 2166. Para este estudio la aplicación de este ensayo permite verificar estos parámetros de resistencia del suelo y compararlos con los correlacionados por el NSPT.
- Correlaciones entre valores de CBR y exploraciones del subsuelo por SPT.
- Valores relativos de permeabilidad en suelos típicos
- Parámetros de reconocimiento de arcillas expansivas.



**Cliente**: OPISU **Fecha**: 06-12-24 **OT**: 22578-24 **Página** 9 de 36

Gráfico 2. Correlación en tabla entre Clasificaciones del Suelo y Valores de Soporte CBR y Modulo de Balasto. Fuente ICPA[6]







 Cliente: OPISU
 Fecha: 06-12-24

 OT: 22578-24
 Página 10 de 36

Tabla 6, Relación entre CBR y Tensiones en el Suelo Confinado en Molde

Tesnsión sobre El Suelo CBR 100%	Carga CBR 100 %			
68,73 kg/cm2	1.355,00 kg	CBR 100% (0,1")		
103,08 kg/cm2	2.032,00 kg	CBR 100% (0,2")		

CBR (%)	Tensión Asociado (Kg/cm2) al CBR para Penetración de 0,1" (2,54 mm)	Tensión Asociado (Kg/cm2) al CBR para Penetración de 0,2" (2,54 mm)
5	3,44	5,15
10	6,87	10,31
15	10,31	15,46
20	13,75	20,62
25	17,18	25,77
30	20,62	30,92
35	24,06	36,08
40	27,49	41,23
45	30,93	46,38
50	34,37	51,54
55	37,80	56,69
60	41,24	61,85
65	44,68	67,00
70	48,11	72,15
75	51,55	77,31
80	54,99	82,46
85	58,42	87,61
90	61,86	92,77
95	65,30	97,92
100	68,73	103,08

Gráfico 3, Correlación Propuesta por Livnen & Ishai entre CBR y SPT en mm/golpe.

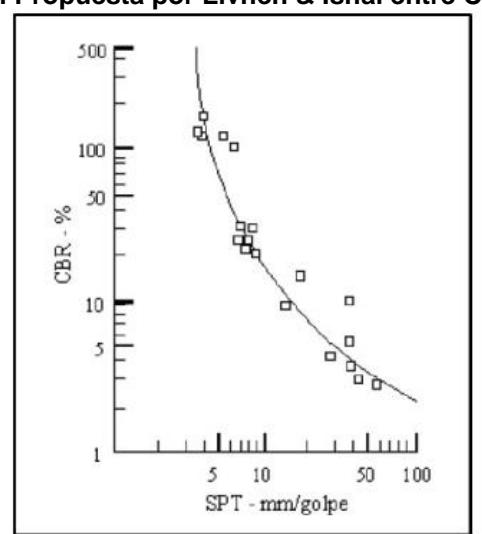


Figura 4. Gráfico logarítmico propuesto por Livnen & Ishai-1987, para correlación de SPT con CBR Fuente: Hidalgo Andrade Felipe Adrián (2007), Definición moderna de los parámetros para el diseño de pavimentos





 Cliente: OPISU
 Fecha: 06-12-24

 OT: 22578-24
 Página 11 de 36

Tabla 7 Relación entre NSPT ASTM D1586 y SPT en mm/golpe

NSPT (Necesarios para penetrar 300 mm)	SPT mm/golpe	NSPT (Necesarios para penetrar 300 mm)	SPT mm/golpe
1	300,0	31	9,7
2	150,0	32	9,4
3	100,0	33	9,1
4	75,0	34	8,8
5	60,0	35	8,6
6	50,0	36	8,3
7	42,9	37	8,1
8	37,5	38	7,9
9	33,3	39	7,7
10	30,0	40	7,5
11	27,3	41	7,3
12	25,0	42	7,1
13	23,1	43	7,0
14	21,4	44	6,8
15	20,0	45	6,7
16	18,8	46	6,5
17	17,6	47	6,4
18	16,7	48	6,3
19	15,8	49	6,1
20	15,0	50	6,0
21	14,3	51	5,9
22	13,6	52	5,8
23	13,0	53	5,7
24	12,5	54	5,6
25	12,0	55	5,5
26	11,5	56	5,4
27	11,1	57	5,3
28	10,7	58	5,2
29	10,3	59	5,1
30	10,0	60	5,0

Tabla 8. Rango de Permeabilidad Hidráulica para varios suelos. Fuente Braja Das

Tipo de suelo	Permeabilidad hidráulica <i>, k</i> (cm/s)				
Grava media a gruesa	Mayor que 10 <sup>-1</sup>				
Arena gruesa a fina	10 <sup>-1</sup> a 10 <sup>-3</sup>				
Arena fina, arena limosa	10 <sup>-3</sup> a 10 <sup>-5</sup>				
Limo, limo arcilloso, arcilla li	mosa 10 <sup>-4</sup> a 10 <sup>-6</sup>				
Arcillas	10 <sup>-7</sup> o menor				







 Cliente: OPISU
 Fecha: 06-12-24

 OT: 22578-24
 Página 12 de 36

Tabla 9. Criterios de Expansividad Recopilados por R. Ortiz 1975

Expansividad	Límite de retracción	ΙP	WL	%#200	% <0,001 mm	Actividad (Skempton mod.)	Potencial hinchamiento (Seed %)	Índice Lambe (Kg/cm²)	Presión hinchamiento probable (kg/cm²)	Hinchamiento probable superficie (cm) (McDowell)	% hinchamiento probable
Baja	>15	<18	<30	<30	<15	<0,5	0-1,5	<0,8	<0,3	0-1	<1
Media	12-16	15-28	30-40	30-60	13-23	0,5-0,7	1,5-5,0	0,8-1,5	0,3-1,2	1-3	1-5
Alta	8-12	25-40	40-60	60-95	20-30	0.7-1.0	5-25	1,5-2,3	1,2-3,0	3-7	3-10
Muy alta	<10	>35	>60	>95	>30	>1,0	>25	>2,3	>3,0	>7	>10

Tabla 10. Grados de Expansividad y Valores Medios de Parámetros Geotécnicos Vallejo (2002)

		Finos (%)	Límite	Hinchamiento		
Grado	Expansividad		Líquido	(kPa)	(KPa)	libre (%)
I	Baja	<30	<35	<80	<25	<1
II	Baja a media	30-60	35-50	80-150	25-125	1-4
III	Media a alta	60-95	50-65	150-230	125-300	4-10
IV	Muy alta	>95	>65	>230	>300	>10



 Cliente: OPISU
 Fecha: 06-12-24

 OT: 22578-24
 Página 13 de 36

Tabla 11. Grados de Expansión Chen (1988)

Grado de	% Pasa por	Límite líquido	S.P.T.	Expansión	Presión de
expansión	Tamiz 200			Probable %	Hinchamiento
Muy alto	>95	>60	>30	>10	>10
Alto	60-95	40-60	20-30	3-10	2,5-10
Medio	30-60	30-40	10-20	1-5	1,5-2,5
Bajo	<30	<30	<10	<1	<0,5

Los resultados se reportan en planillas anexas realizadas con hojas de cálculo Microsoft Excel, se muestran las características físicas, gravimétricas y geomecánicos de las muestras recuperadas de las exploraciones.

Habiendo analizado los parámetros geomecánicos, la naturaleza de los materiales que se modelan en perfil litológico y el tipo de obra civil a proyectar, se propone sistemas constructivos viables que permitan fundar las obras civiles proyectadas, adaptables a las necesidades de funcionamiento si fuese el caso. Se proyectan además estructuras viables de pavimentos en función de las características de los suelos evaluados atendiendo metodología AASHTO 93.

Para este estudio en particular, se incluye además mediciones de parámetros ambientales que pueden estar vinculados con contaminantes o que simplemente sean perjudiciales para la salud o para la estabilidad química de los materiales que forman parte de los sistemas constructivos convencionales. Se determinan en este sentido parámetros del aire como CO<sub>2</sub>, O<sub>3</sub>, HCHO (Formaldehido) y TVOC (Concentración Total de Compuestos Orgánicos Volátiles) en todos los casos con mediciones directas en sitio. Así mismo se determinan contenidos de cloruros, sulfatos e hidrocarburos totales como parámetros sobre el agua de napa y suelos que son considerados como contaminantes o como agresivos en especial con estructuras de hormigón armado.

# 3. ANTECEDENTES Y GEOMORFOLOGÍA

Según la carta geológica en la ubicación evaluada los suelos predominantes corresponden con depósitos limo-arcillosos de planicie de marea holocenos (Fm. Querandi-Las Escobas)



 Cliente: OPISU
 Fecha: 06-12-24

 OT: 22578-24
 Página 14 de 36

4. PROPIEDADES GEOMECÁNICAS DE LOS MATERIALES Y ESTIMACIÓN DE CAPACIDADES DE CARGA DEL SISTEMA DE FUNDACIONES. CALIDAD DE MATERIALES.

En este apartado se describen las propiedades geomecánicas de cada perfil geotécnico. También se estiman las capacidades de carga a cada estrato y se hacen propuestas del sistema de fundación, atendiendo a la naturaleza mecánica de los litotipos, tipo de obras civiles a proyectadas y/o a proyectar considerando criterios de seguridad establecidos por las normativas vigentes, se hacen además, estimaciones de la estabilidad y seguridad en cuanto a las posibles excavaciones.

Las tablas y gráficos mostrados a continuación para cada perforación reflejan la litología, el comportamiento en incrementos o decrementos de los NSPT, caracterización de las muestras y propiedades o parámetros de resistencia de estas.



 Cliente: OPISU
 Fecha: 06-12-24

 OT: 22578-24
 Página 15 de 36

Tabla 12. Parámetros Geomecánicos y Litología Perforación 1

4			DESCRIPCIÓN	_		GRÁFICO DE PENETRA	OLÓNI		s ×	_ 2_		C	ONTEN	NIDO	DE H	HUMEDAD Y I	IMITES	S DE		ODAA	O. 45	TDÍ A	F	ROPIEDA	ADES FÍ	SICAS y	GEOTÉCNI	CAS
TR/		8	DESCRIPCION	(m)		GRAFICO DE PENETRA	CION		a o elati	tical T/m²	09N				CON	SISTENCIA				GRAN	NULOME	IRIA	_	00	(¢) ales	<u> </u>	a a la n Sin Kg/cm²	e Sr
NRO. DE MUESTRA	SÍMBOLO	NIVEL FREATICO	LITOLOGÍA	PROFUNDIDAD	Índic	ce de Penetración " (SPT)	N "	Nspt	Consistencia o Compacidad Relativa	Esfuerzo vertical efectivo $(\sigma \ v) \ T/m^2$	N1(60) o N6	HUMEDAD (%)			у	Humedad Insistencia	LÍMITE LÍQUIDO	LÍMITE PLÁSTICO	ÍNDICE DE PLASTICIDAD	%GRAVA	%ARENA	%FINOS	Peso Unitario (ɣ) gr/cm³	Peso Unitario seco $(\gamma^d)$ gr/cm $^3$	Ángulo de fricción (¢) grados sexagecimales	Módulo de Deformación (Es) Ka/cm²		Resistencia al corte Kg/cm²
				0	0 -	0 20 40 60 80 10	0						0 :	20 4	40 E	80 80 100												
M1	S(CL)	] .	ARCILLA DE BAJA PLASTICIDAD ARENOSA	1	1 -			4	Mediana o firme	1,90	3	26,19					28	21	7	0,0	48,5	51,5	1,90	1,51	8	117	0,10	0,05
M2	S(CL)	V	ARCILLA DE BAJA PLASTICIDAD ARENOSA	2	2 -			5	Mediana o firme	3,77	6	26,24					28	21	7	0,0	48,5	51,5	1,87	1,48	8	167	0,10	0,05
МЗ	SM		ARENA LIMOSA	3				15	Medianamente densa	5,50	14	44,25					41	29	12	8,4	46,0	45,6	1,73	1,20	30	263	-	0
M4	S(ML)		LIMO ARENOSO	4	4 -			24	Muy compacta	7,29	20	32,13					38	28	10	8,8	28,9	62,2	1,79	1,35	30	311	-	0
M5	S(ML)		LIMO ARENOSO	5	5 -			27	Muy compacta	9,01	20	27,52					38	28	10	8,8	28,9	62,2	1,72	1,35	30	312	-	0
М6	S(ML)		LIMO ARENOSO	6	6 -			40	Dura	10,93	27	22,92		$\prod$			38	28	10	8,8	28,9	62,2	1,93	1,57	31	362	-	0
М7	S(ML)		LIMO ARENOSO	7	7 -			40	Dura	12,86	25	22,92					38	28	10	8,8	28,9	62,2	1,93	1,57	31	348	-	0
М8	CL		ARCILLA DE BAJA PLASTICIDAD (MAGRA)	8	8 -			40	Dura	14,75	23	29,93		X.			40	22	18	0,0	4,1	95,9	1,89	1,46	0	336	2,31	1,15
М9	S(ML)		LIMO ARENOSO	9	9 -			40	Dura	16,60	22	24,47		V.			43	29	14	3,7	26,7	69,6	1,85	1,49	30	326	-	0
M10	S(ML)		LIMO ARENOSO	10	10 -			40	Dura	18,45	21	24,47			I		43	29	14	3,7	26,7	69,6	1,85	1,49	30	318	-	0



 Cliente: OPISU
 Fecha: 06-12-24

 OT: 22578-24
 Página 16 de 36

Tabla 13. Parámetros Geomecánicos y Litología Perforación 2

4			DESCRIPCIÓN		GRÁFICO DE PENETRACIO	ÓN	va	_ 8_		C	CONTENIDO DE HUMEDAD Y	LIMITES	S DE		CDAA	JULOME	ΤDÍΛ	Р	ROPIEDA	ADES FÍ	SICAS y	GEOTÉCNI	
<u>R</u>		8	DESCRIPCION	(m)	GRAFICO DE PENETRACIO	JIN	lati	ica I/m	0		CONSISTENCIA				GRAN	IULUIVIE		_	8	( <del>♦</del> )	<u></u>	a n cm²	S e
NRO. DE MUESTRA	SÍMBOLO	NIVEL FREATICO	LITOLOGÍA	PROFUNDIDAD	Índice de Penetración " N " (SPT)	Nspt	Consistencia o Compacidad Relativa	Esfuerzo vertical efectivo $(\sigma ` v) T/m^2$	N1(60) o N60	HUMEDAD (%)	Gráfico de% Humedad y Limites de Consistencia	LÍMITE LÍQUIDO	LÍMITE PLÁSTICO	ÍNDICE DE PLASTICIDAD	%GRAVA	%ARENA	%FINOS	Peso Unitario (ɣ) gr/cm³	Peso Unitario seco ( <b>y</b> d) gr/cm³	Ángulo de fricción ( $\phi$ ) grados sexagecimales	Módulo de Deformación (Es) Kg/cm²	Resistencia a la Compresión Sin Confinar (qu) Kg/cm²	Resistencia al corte Su Kg/cm²
				0	0 20 40 60 80 100						0 20 40 60 80 100												
M1	S(CL)	-	ARCILLA DE BAJA PLASTICIDAD ARENOSA	1	1	5	Mediana o firme	1,89	4	26,67		28	21	7	0,0	48,5	51,5	1,89	1,50	8	131	0,10	0,05
M2	S(CL)	V	ARCILLA DE BAJA PLASTICIDAD ARENOSA	2	2	8	Compacta	3,80	9	26,88		28	21	7	0,0	48,5	51,5	1,90	1,50	8	211	0,10	0,05
МЗ	SM		ARENA LIMOSA	3	3	18	Medianamente densa	5,71	17	35,68		41	29	12	8,4	46,0	45,6	1,91	1,41	30	286		0
M4	SM		ARENA LIMOSA	4	4	30	Densa	7,47	24	29,13		41	29	12	8,4	46,0	45,6	1,76	1,37	32	345		0
M5	CL		ARCILLA DE BAJA PLASTICIDAD (MAGRA)	5	5	34	Dura	9,41	25	13,77		40	22	18	0,0	4,1	95,9	1,94	1,70	0	347	2,45	1,23
M6	S(ML)		LIMO ARENOSO	6	6	40	Dura	11,22	26	31,55		38	28	10	8,8	28,9	62,2	1,81	1,38	31	360		0
M7	S(ML)		LIMO ARENOSO	7	7	40	Dura	12,97	25	27,73		38	28	10	8,8	28,9	62,2	1,75	1,37	31	347	1	0
M8	S(ML)		LIMO ARENOSO	8	8	40	Dura	14,71	23	27,73		38	28	10	8,8	28,9	62,2	1,75	1,37	30	336		0
М9	S(ML)		LIMO ARENOSO	9	9	40	Dura	16,53	22	29,92		43	29	14	3,7	26,7	69,6	1,82	1,40	30	327	-	0
M10	S(ML)		LIMO ARENOSO	10	10	40	Dura	18,36	21	29,92		43	29	14	3,7	26,7	69,6	1,82	1,40	30	318	-	0



 Cliente: OPISU
 Fecha: 06-12-24

 OT: 22578-24
 Página 17 de 36

Tabla 14. Parámetros Geomecánicos y Litología Perforación 3

⋖			DESCRIPCIÓN	_	GRÁFICO DE PENETRACIO	ÓΝΙ	s S	_5_		C	CONTENIDO DE HUMEDAD Y	LIMITE	S DE		CDAN	JULOME	ΤΡίΛ	Р	ROPIEDA	- 10	SICAS y	GEOTÉCNI	
J. S. T.		8	DESCRIT CION	(m) c	GIVALICO DE L'ENETIVACIO	OIN .	a o elati	rtical T/m²	09N		CONSISTENCIA				GIVAI	OLOIVIL	ША	~	seco	(¢)	ŝ	a a la n Sin Kg/cm²	ie S
NRO. DE MUESTRA	SÍMBOLO	NIVEL FREATICO	LITOLOGÍA	PROFUNDIDAD	Índice de Penetración " N " (SPT)	Nspr	Consistencia o Compacidad Relativa	Esfuerzo vertical efectivo (σ`ν) T/m	N1(60) o N6	HUMEDAD (%)	Gráfico de% Humedad y Limites de Consistencia	ГІМІТЕ LÍQUIDO	LÍMITE PLÁSTICO	ÍNDICE DE PLASTICIDAD	%GRAVA	%ARENA	%FINOS	Peso Unitario (ɣ) gr/cm³	Peso Unitario se (ɣd) gr/cm³	Ángulo de fricción $(\phi)$ grados sexagecimales	Módulo de Deformación (Es) Kg/cm²	Resistencia a la Compresión Sin Confinar (qu) Kg/cn	Resistencia al corte Su Kg/cm²
				0	0 20 40 60 80 100						0 20 40 60 80 100												
М1	S(CL)	-	ARCILLA DE BAJA PLASTICIDAD ARENOSA	1	1	4	Mediana o firme	1,85	3	25,01		28	21	7	0,0	48,5	51,5	1,85	1,48	8	117	0,10	0,05
M2	S(CL)	V	ARCILLA DE BAJA PLASTICIDAD ARENOSA	2	2	9	Compacta	3,74	10	28,21		28	21	7	0,0	48,5	51,5	1,88	1,47	8	225	0,10	0,05
М3	SM		ARENA LIMOSA	3	3	25	Medianamente densa	5,28	24	43,15		41	29	12	8,4	46,0	45,6	1,54	1,07	32	344	1	0
M4	SM		ARENA LIMOSA	4	4	29	Medianamente densa	7,11	24	31,57		41	29	12	8,4	46,0	45,6	1,83	1,39	32	343	1	0
M5	CL		ARCILLA DE BAJA PLASTICIDAD (MAGRA)	5	5	35	Dura	9,06	26	18,30		40	22	18	0,0	4,1	95,9	1,95	1,65	0	355	2,57	1,29
М6	S(ML)		LIMO ARENOSO	6	6	40	Dura	11,03	27	27,35		38	28	10	8,8	28,9	62,2	1,97	1,55	31	361	-	0
M7	S(ML)		LIMO ARENOSO	7	7	40	Dura	12,82	25	33,55		38	28	10	8,8	28,9	62,2	1,79	1,34	31	348	ı	0
М8	S(ML)		LIMO ARENOSO	8	8	40	Dura	14,64	23	33,18		38	28	10	8,8	28,9	62,2	1,82	1,36	30	337	1	0
М9	S(ML)		LIMO ARENOSO	9	9	40	Dura	16,63	22	30,76		43	29	14	3,7	26,7	69,6	2,00	1,53	30	326	-	0
M10	S(ML)		LIMO ARENOSO	10		40	Dura	18,63	21	30,76		43	29	14	3,7	26,7	69,6	2,00	1,53	30	317	-	0



 Cliente: OPISU
 Fecha: 06-12-24

 OT: 22578-24
 Página 18 de 36

# Tabla 15. Parámetros Geomecánicos y Litología Perforación 4

⋖			DESCRIPCIÓN	<u> </u>	GRÁFICO DE PENETRACIO	ÓΝΙ	iva	= %_		C	CONTENIDO DE HUMEDAD Y L	IMITES	S DE		GRAN	JULOME	TRÍΔ	Р	ROPIED	ADES FÍ	SICAS y	GEOTÉCNI	
STR	_	001	DESCRIT CION	(m) Q	GIVALICO DE L'ENETIVACIO	JIN	a o elat	vertical `v) T/m²	09N		CONSISTENCIA		_		GIVAI	VOLCIVIL		<b>~</b>	seco	(∳) nales	e (Es)	a a la n Sin Kg/cm²	corte Su
NRO. DE MUESTRA	SÍMBOLO	NIVEL FREATICO	LITOLOGÍA	PROFUNDIDAD	Índice de Penetración " N " (SPT)	Nspt	Consistencia o Compacidad Relativa	Esfuerzo ver efectivo (σ`v)	N1(60) o N	HUMEDAD (%)	Gráfico de% Humedad y Limites de Consistencia	LÍMITE LÍQUIDO	LÍMITE PLÁSTICO	ÍNDICE DE PLASTICIDAD	%GRAVA	%ARENA	%FINOS	Peso Unitario (ץ) gr/cm³	Peso Unitario se (ช <sup>d</sup> ) gr/cm³	Ángulo de fricción ( $\phi$ ) grados sexagecimale	Módulo de Deformación (E Kg/cm²	Resistencia a la Compresión Sin Confinar (qu) Kg/cn	Resistencia al cor Kg/cm²
				0	0 20 40 60 80 100						0 20 40 60 80 100												
M1	S(CL)		ARCILLA DE BAJA PLASTICIDAD ARENOSA	1	1	5	Mediana o firme	1,85	4	28,84		28	21	7	0,0	48,5	51,5	1,85	1,43	8	131	0,10	0,05
M2	S(CL)	$\bigvee$	ARCILLA DE BAJA PLASTICIDAD ARENOSA	2	2	7	Mediana o firme	3,72	8	27,50		28	21	7	0,0	48,5	51,5	1,87	1,47	8	198	0,10	0,05
МЗ	SM		ARENA LIMOSA	3	3	22	Medianamente densa	5,44	21	37,14		41	29	12	8,4	46,0	45,6	1,72	1,26	31	320		0
M4	SM		ARENA LIMOSA	4	4	27	Medianamente densa	7,21	22	35,83		41	29	12	8,4	46,0	45,6	1,76	1,30	31	330	-	0
M5	CL		ARCILLA DE BAJA PLASTICIDAD (MAGRA)	5		26	Muy compacta	9,24	19	13,83		40	22	18	0,0	4,1	95,9	2,03	1,78	0	305	1,89	0,95
M6	S(ML)		LIMO ARENOSO	6	6	35	Dura	11,18	23	22,80		38	28	10	8,8	28,9	62,2	1,95	1,59	30	337	-	0
M7	S(ML)		LIMO ARENOSO	7	7	40	Dura	12,94	25	28,85		38	28	10	8,8	28,9	62,2	1,76	1,36	31	347	-	0
M8	S(ML)		LIMO ARENOSO	8	8	40	Dura	14,78	23	33,34		38	28	10	8,8	28,9	62,2	1,83	1,37	30	336		0
М9	S(ML)		LIMO ARENOSO	9	9	40	Dura	16,58	22	34,10		43	29	14	3,7	26,7	69,6	1,80	1,35	30	326	-	0
M10	S(ML)		LIMO ARENOSO	10		40	Dura	18,43	21	33,45	$\ \cdot\ \cdot\ $	43	29	14	3,7	26,7	69,6	1,85	1,39	30	318	-	0



 Cliente: OPISU
 Fecha: 06-12-24

 OT: 22578-24
 Página 19 de 36

En la exploración de modo general en los dos primeros metros de perforación se destacan arcillas de baja plasticidad firmes, posteriormente hay predominancia de suelos limosos arenosos medianamente densos y duros.

Nivel freático detectado a -1.5 m de profundidad. No hay presencia de suelos con características expansivas.

Prof. (m) y Nivel Clasif. P1 Clasif. P2 Clasif. P3 Clasif. P4 Freático S(CL) S(CL) S(CL) S(CL) S(CL) S(CL) S(CL) S(CL) 3 SM SM SM SM 4 S(ML) SM SM SM 5 S(ML) CL CL CL 6 S(ML) S(ML) S(ML) S(ML) 7 S(ML) S(ML) S(ML) S(ML) 8 CL S(ML) S(ML) S(ML) 9 S(ML) S(ML) S(ML) S(ML) 10 S(ML) S(ML) S(ML) S(ML)

Tabla 16. Materiales Clasificados de Cada Perforación.

A continuación, luego de determinar las propiedades geomecánicas y vinculando la edificación y/o trabajos posiblemente proyectados, se refleja en tablas siguientes los esfuerzos admisibles metro a metro en cada sector evaluado para parte del sistema de fundación directo.

Es de notar que las tensiones admisibles calculadas para los primeros metros están asociadas a la cohesión y este parámetro puede modificarse en función de la humedad o grado de saturación del suelo. Los esfuerzos admisibles sobre el suelo para fundaciones directas según la tabla 17 no superarán los 0,30 Kg/cm2 para cota de fundación entre -1 y -2 m y el módulo de balasto no serán en ningún caso superior a 1,03 Kg/cm2/cm siempre que se logren condiciones de preparación como se indica más adelante.

Así mismo para efectos de diseño de estructuras de pavimentos, y atendiendo correlaciones expresadas en grafico 3, valores de CBR o valor soporte de rasante no alcanzan el 5%.







 Cliente: OPISU
 Fecha: 06-12-24

 OT: 22578-24
 Página 20 de 36

Tabla 17. Parámetros de Diseño o Chequeo para Fundaciones Directas.

			Dia 17.1	uiuiii	Cti O5 G	C D13C1	10 0 01	icquco p	ara r arr	uaciones		10.	
		Pro	ppiedades del S	uelo a Cada	a Metro de Pei	foración		Esfuerzo	s o Fundaciones os admisibles inc nientos tolerabl	luyendo	Losas o Plateas de Fundación FS=5	B = 30 cm FS = 3	B = 100 cm FS = 3
ZONA DE PERFORACIÓN	Prof. (m)	Nivel Freático (m)	Clasificación de la Muestra SUC	N1(60)	Módulo de Elasticidad (Kg/cm2)	Cohesión (Kg/cm2)	Angulo de Fricción (φ)	Esfuerzo Admisible para Fundaciones Aisladas. Zapatas 1,0 m de Lado Kg/cm2	Esfuerzo Admisible para Fundaciones Aisladas. Zapatas 1,5 m de Lado Kg/cm2	Esfuerzo Admisible para Fundaciones Aisladas. Zapatas 2,0 m de Lado Kg/cm2	Modulo de Balasto (k) Kg/cm2/cm (Para Losas de Fundación B = 6 m)	Modulo de Balasto Horizontal (kh) Kg/cm2/cm (Para Pilotes de 30 cm de Diametro)	Modulo de Balasto Horizontal (kh) Kg/cm2/cm (Para Pilotes de 100 cm de Diametro)
	1		S(CL)	3	117	0,050	8	0,22	0,22	0,22	1,03	1,30	0,39
	2 -		S(CL)	6	167	0,050	8	0,32	0,30	0,30	2,09	1,86	0,56
	3		SM	14	263	0	30	1,41	1,07	0,88	5,20	2,93	0,88
	4		S(ML)	20	311	0	30	$\setminus$	$\mathbb{R}^{2}$	$\mathbb{R}^{\mathbb{R}}$	$\backslash$	3,45	1,04
	5		S(ML)	20	312	0	30	>	>	$\overline{}$	$\overline{}$	3,47	1,04
1	6		S(ML)	27	362	0	31	$\sim$	$\sim$	$\sim$	$\sim$	4,02	1,21
	7		S(ML)	25	348	0	31	>	>	>	>	3,86	1,16
	8		CL	23	336	1,153	0	>	>	>	>	3,73	1,12
	9		S(ML)	22	326	0	30	>	$\langle \rangle$	$\langle \rangle$	$\langle \rangle$	3,63	1,12
	10			21	318	0	30	>	$\bigcirc$	$\Diamond$	$\bigcirc$	3,53	1,09
	10		S(ML)	21	318		30					3,33	1,06
			6(61)				_						
	1	$\overline{}$	S(CL)	4	131	0,050	8	0,22	0,22	0,22	1,28	1,46	0,44
	2 -		S(CL)	9	211	0,050	8	0,33	0,30	0,30	3,34	2,34	0,70
	3		SM	17	286	0	30	1,70	1,18	0,88	6,12	3,18	0,95
	4		SM	24	345	0	32	$\sim$	$\sim$	$\sim$	$\sqrt{}$	3,83	1,15
2	5		CL	25	347	1,227	0	$\sim$	$\sim$	$\sim$	$\sim$	3,85	1,16
_	6		S(ML)	26	360	0	31	> <	$\sim$	$\gg$	$\geq \leq$	4,00	1,20
	7		S(ML)	25	347	0	31	$>\!\!<$	$\sim$	$>\!\!<$	$\sim$	3,86	1,16
	8		S(ML)	23	336	0	30	$\sim$	$\bigwedge$	$\bigvee$	$\bigvee$	3,74	1,12
	9		S(ML)	22	327	0	30	$>\!\!<$	$\sim$	$\searrow$	$\searrow$	3,63	1,09
	10		S(ML)	21	318	0	30	$\backslash\!\!\!/$	$\nearrow$	$\mathbb{N}$	$\searrow$	3,54	1,06
	1		S(CL)	3	117	0,050	8	0,22	0,22	0,22	1,03	1,30	0,39
	2 -		S(CL)	10	225	0,050	8	0,32	0,30	0,30	3,78	2,50	0,75
	3		SM	24	344	0	32	1,49	1,09	0,88	8,84	3,82	1,15
	4		SM	24	343	0	32	<del></del>	<u></u>			3,82	1,14
	5		CL	26	355	1,287	0	>	>	>	>	3,95	1,18
3	6		S(ML)	27	361	0	31	>	>	>	>	4,02	1,20
	7		S(ML)	25	348	0	31	>	>	>	>	3,87	1,16
	8		S(ML)	23	337	0	30	>	>	>		3,74	1,10
								>	>	>	>		
	9		S(ML)	22	326	0	30	>	>	>	>	3,62	1,09
	10		S(ML)	21	317	0	30					3,52	1,06
			5(51)		404	0.050		0.00	0.00	0.00	4.00		
	1		S(CL)	4	131	0,050	8	0,22	0,22	0,22	1,28	1,46	0,44
	2	_	S(CL)	8	198	0,050	8	0,32	0,30	0,30	2,95	2,20	0,66
	3		SM	21	320	0	31	1,66	1,18	0,88	7,66	3,55	1,07
	4		SM	22	330	0	31	$\sim$	$\sim$	$\sim$	$\sim$	3,67	1,10
4	5		CL	19	305	1	0	$>\!\!<$	$>\!\!<$	> <	$\sim$	3,38	1,02
-	6		S(ML)	23	337	0	30	> <	$\sim$	$\sim$	$\rightarrow$	3,74	1,12
	7		S(ML)	25	347	0	31	> <	>>	$\sim$	$\searrow$	3,86	1,16
	8		S(ML)	23	336	0	30	>	$\sim$	$\searrow$	$\nearrow$	3,73	1,12
	9		S(ML)	22	326	0	30	> <	> <	$\rightarrow$	$\sim$	3,63	1,09
	10		S(ML)	21	318	0	30	>	>	$\sim$	>	3,53	1,06
			5()					$\sim$	$\sim$	$\overline{}$		- 5,55	,00





 Cliente: OPISU
 Fecha: 06-12-24

 OT: 22578-24
 Página 21 de 36

Tabla 18 Parámetros para Excavaciones.

				rabia	18 Pará	metros	para <b>E</b> x	cavacio	nes.			
		Pro	piedades del Sı	uelo a Cada	a Metro de Per	foración		Pai	rámetros, Emp	oujes de Tierra	en Excavacion	es
ZONA DE PERFORACIÓN	Prof. (m)	Nivel Freático (m)	Clasificación de la Muestra SUC	N1(60)	Módulo de Elasticidad (Kg/cm2)	Cohesión (Kg/cm2)	Angulo de Fricción (φ)	Esfuerzo Vertical Efectivo &v Kg/cm2	Coeficiente de empuje Activo (Ka) Rankie	Presión Lateral Activa Kg/cm2 (*)	Coeficiente de empuje Pasivo (Kp) Rankie	Presión Lateral Pasiva Kg/cm2
	1		S(CL)	3	117	0,050	8	0,19	0,756	0,144	1,323	0,367
	2 -		S(CL)	6	167	0,050	8	0,38	0,756	0,285	1,323	0,614
	3		SM	14	263	0	30	0,55	0,340	0,187	2,941	1,617
	4		S(ML)	20	311	0	30	0,73	0,339	0,247	2,954	2,153
1	5		S(ML)	20	312	0	30	0,90	0,338	0,304	2,960	2,665
1	6		S(ML)	27	362	0	31	1,09	0,321	0,351	3,112	3,402
	7		S(ML)	25	348	0	31	1,29	0,326	0,419	3,067	3,944
	8		CL	23	336	1,153	0	1,48	1,000	1,475	1,000	3,780
	9		S(ML)	22	326	0	30	1,66	0,333	0,553	3,001	4,982
	10		S(ML)	21	318	0	30	1,84	0,336	0,620	2,976	5,490
	1	7	S(CL)	4	131	0,050	8	0,19	0,756	0,143	1,323	0,366
	2 ·		S(CL)	9	211	0,050	8	0,38	0,756	0,287	1,323	0,617
	3		SM	17	286	0	30	0,57	0,331	0,189	3,017	1,722
	4		SM	24	345	0	32	0,75	0,309	0,231	3,233	2,415
2	5		CL	25	347	1,227	0	0,94	1,000	0,941	1,000	3,395
	6		S(ML)	26	360	0	31	1,12	0,322	0,361	3,105	3,483
	7		S(ML)	25	347	0	31	1,30	0,326	0,423	3,065	3,974
	8		S(ML)	23	336	0	30	1,47	0,330	0,485	3,032	4,460
	9		S(ML)	22	327	0	30	1,65	0,333	0,551	3,002	4,964
	10		S(ML)	21	318	0	30	1,84	0,336	0,617	2,977	5,465
			C(CL)	2	1 447	0.050	1 0	0.40	0.756	0.110	4 222	0.260
	1	_ <del></del>	S(CL)	3	117	0,050	8	0,19	0,756	0,140	1,323	0,360
	2 .		S(CL)	10	225	0,050	8	0,37	0,756	0,283	1,323	0,610
	3		SM	24	344	0	32	0,53	0,310	0,163	3,228	1,703
	<u>4</u> 5		SM CL	24 26	343 355	1 297	32 0	0,71	0,310	0,220	3,227	2,294
3	6		S(ML)	27	361	1,287 0	31	0,91 1,10	1,000 0,322	0,906 0,355	1,000 3,109	3,480 3,430
	7		S(ML)	25	348	0	31	1,10	0,322	0,355	3,109	3,430
	8		S(ML)	23	337	0	30	1,46	0,330	0,418	3,033	4,440
	9		S(ML)	22	326	0	30	1,66	0,333	0,483	3,001	4,992
	10		S(ML)	21	317	0	30	1,86	0,336	0,627	2,973	5,540
			-11					_,	2,200	-,,	_,	2,3.0
	1		S(CL)	4	131	0,050	8	0,18	0,756	0,140	1,323	0,360
	2	V	S(CL)	8	198	0,050	8	0,37	0,756	0,281	1,323	0,608
	3		SM	21	320	0	31	0,54	0,319	0,173	3,139	1,709
	4		SM	22	330	0	31	0,72	0,315	0,227	3,178	2,291
4	5		CL	19	305	1	0	0,92	1,000	0,924	1,000	2,817
+	6		S(ML)	23	337	0	30	1,12	0,330	0,369	3,034	3,393
	7		S(ML)	25	347	0	31	1,29	0,326	0,422	3,066	3,968
	8		S(ML)	23	336	0	30	1,48	0,330	0,488	3,031	4,478
	9		S(ML)	22	326	0	30	1,66	0,333	0,552	3,002	4,977
	10		S(ML)	21	318	0	30	1,84	0,336	0,619	2,976	5,485





 Cliente: OPISU
 Fecha: 06-12-24

 OT: 22578-24
 Página 22 de 36

Las tablas 17 y 18 muestran parámetros admisibles de diseño de fundaciones superficiales directas, zapatas y plateas, así como los requeridos para cálculos de empujes en el caso de excavaciones.

En caso de que se requieran fundaciones de mayor capacidad o la combinación de sistemas superficiales con sistemas profundos, se detallan a continuación el diseño de micropilotes partiendo de la metodología empírica de diseño planteada por Michel Bustamante para micropilotes IRS (Inyección Repetitiva y Selectiva) considerando separaciones mínimas entre elementos de 5 veces el diámetro de estos y dejando 3 metros libres de bulbos inyectados a presión a cada metro restante.

La capacidad de carga estática teórica de los micropilotes vendrá dada por la ecuación;

Q = Qp + Qf

Donde

QP = es la carga resistida por la punta (0.15 Qf Aprox. para suelos blandos)

QF = es la carga resistida por el fuste

 $Qf = \Sigma(\pi . Dn . \alpha . L . qs)$ 

Dn = es el diámetro nominal de la perforación

 $\alpha$  = es un coeficiente de magnificación que estima la expansión del suelo por la presión de la lechada y depende del tipo de suelo y del tipo de micropilote (ver tabla)

L = es la longitud del tramo de micropilote donde se inyecta la lechada a presión. (Inyección secundaria)

qs = es la tensión de la fricción lateral que depende de la presión límite PL y del tipo de suelo (ver ecuaciones).

$$qs = (5 + 0.5.N_{60}).(tn/m^2)$$

Para Arenas y Gravas

$$qs = \frac{1}{\left[\frac{0.55}{N_{60}} + 0.02\right]} (tn/m^2)$$

Para Limos y Arcillas

N60 = Numero de Golpes Corregido SPT en el estrato evaluado.

Tabla 19. Coeficiente α

6 1	Coeficie	nte "α"
Suelos	IRS	IGU
Grava	1,8 a 1,8	1,3 a 1,4
Grava arenosa	1,6 a 1,8	1,2 a 1,4
Arena gruesa	1,4 a 1,5	1,1 a 1,2
Arena mediana	1,4 a 1,5	1,1 a 1,2
Arena fina	1,4 a 1,5	1,1 a 1,2
Arena limosa	1,4 a 1,5	1,1 a 1,2
Limo	1,4 a 1,6	1,1 a 1,2
Arcilla	1,8 a 2,0	
Marga	1,8	1,1 a 1,2
Roca alterada o fragmentada	1,2 a 1,8	1,1







 Cliente: OPISU
 Fecha: 06-12-24

 OT: 22578-24
 Página 23 de 36

Tabla 20. Estratificación, N(60) adoptados para el cálculo de los Micropilotes.

Prof. (m) y Nivel Freático	Clasif. P1	Clasif. P2	Clasif. P3	Clasif. P4	N (60) P1	N (60) P2	N (60) P3	N (60) P4	N(60) Prom - 1,5 desv. Estandar	N(60) para el ralizado
1	S(CL)	S(CL)	S(CL)	S(CL)	3	4	3	4	3	
2	S(CL)	S(CL)	S(CL)	S(CL)	6	9	10	8	5	
3	SM	SM	SM	SM	14	17	24	21	12	conservadores Ilculo. Perfil ge
4	S(ML)	SM	SM	SM	20	24	24	22	19	vad Per
5	S(ML)	CL	CL	CL	20	25	26	19	17	o. F
6	S(ML)	S(ML)	S(ML)	S(ML)	27	26	27	23	23	conse
7	S(ML)	S(ML)	S(ML)	S(ML)	25	25	25	25	25	- (0
8	CL	S(ML)	S(ML)	S(ML)	23	23	23	23	23	ē O
9	S(ML)	S(ML)	S(ML)	S(ML)	22	22	22	22	22	Valores
10	S(ML)	S(ML)	S(ML)	S(ML)	21	21	21	21	21	>

# Tabla 21 Capacidades para Micropilotes de 0.20 m con bulbos a partir de los 2 m.

DIÁMETRO NOMINAL (m) = 0,2 Capacidad Ultima de Capacidad Admisible Longitud o Fuste Por qs (ton / Ultima de Diámetro Capacidadad FS 5 orofundida Longitud. m2) Grafico Fuste Por N(60) Prom PL (MPa) Ultima Por Nominal α kp del Bulbo (m) 1 y 2, Ec. 4 y Metro de distintas bulbos (m) Dn Punta (ton) capacidad Micropilote Perforación cotas de por punta (m) (ton) asiento (ton) (ton) 3 0,2 1,8 0 0,00 0 0 0,0 0,2 1,8 0 0,00 0 0 2,0 12 1,2 0,60 0,2 3 0,2 1.4 1 11.17 9,8 9.8 1 19 0,2 1,4 1 14,69 12,9 22,7 1,2 0,95 0,3 4,6 4 2 19,27 21,8 1,15 9,0 17 0,2 1,8 1 44.5 1,6 0,7 5 3 13,1 23 0,2 1,4 22,86 20,1 64,6 1,8 1,55 0,8 6 4 25 17,2 0,2 1,4 1 23,59 20,7 85,4 1,8 1,65 0,8 5 23 0,2 1,4 1 22,78 20,0 105,4 1,8 1,55 0,8 21,2 8 6 22 0,2 1,4 22,05 19,4 124,8 1,8 1,45 0,7 9 28,9 21,36 21 0,2 1,4 1 18,8 143,6 1,8 1,40 0,7 10

# Tabla 22 Capacidades para Micropilotes de 0.25 m con bulbos a partir de los 2 m.

DIÁMETRO NOMINAL (m) = 0,25

DIAINETRO	NOMINAL	L (m) =	0,25									
N(60) Prom	Diámetro Nominal (m) Dn	α	Longitud. Bulbo (m)	qs (ton / m2) Grafico 1 y 2, Ec. 4 y 5	Capacidad Ultima de Fuste Por Metro de Perforación (ton)	Capacidad Ultima de Fuste Por para las distintas cotas de asiento (ton)	kp	PL (MPa)	Capacidadad Ultima Por Punta (ton)	Capacidad Admisible FS 5 considerand o capacidad por punta (ton)	Longitud o profundidad del Micropilote (m)	Cantidad de bulbos
3	0,25	1,8	0	0,00	0	0	-	-	-	0,0	-	-
5	0,25	1,8	0	0,00	0,0	0,0	-	-	-	0,0	-	-
12	0,25	1,4	1	11,17	12,3	12,3	1,2	0,60	0,3	2,5	3	1
19	0,25	1,4	1	14,69	16,1	28,4	1,2	0,95	0,4	5,8	4	2
17	0,25	1,8	1	19,27	27,2	55,7	1,6	1,15	0,8	11,3	5	3
23	0,25	1,4	1	22,86	25,1	80,8	1,8	1,55	1,0	16,4	6	4
25	0,25	1,4	1	23,59	25,9	106,7	1,8	1,65	1,1	21,6	7	5
23	0,25	1,4	1	22,78	25,0	131,8	1,8	1,55	1,0	26,6	8	6
22	0,25	1,4	1	22,05	24,2	156,0	1,8	1,45	0,9	31,4	9	7
21	0,25	1,4	1	21,36	23,5	179,5	1,8	1,40	0,9	36,1	10	8



# CIVIHE INSUMOS SAS

# **GRUPO CIMHE**

 Cliente: OPISU
 Fecha: 06-12-24

 OT: 22578-24
 Página 24 de 36

Para micropilotes de 0,20 m de diámetro, capacidades admisibles de entre 2 y 29 Toneladas son obtenidas para profundidades de entre 1 y 10 m con 1 y 8 bulbos respectivamente. Así mismo para micropilotes de 0,25 m de diámetro, capacidades admisibles de entre 2 y 36 Toneladas son obtenidas para profundidades de entre 1 y 10 m con 1 y 8 bulbos respectivamente.

La capacidad a flexo-compresión de los micropilotes vendrá dada además por el refuerzo de acero de los mismos, esta estará conformada por un tubo (tubin) de sección circular, de acero de resistencia la cedencia mayor o igual 420 MPa y cuya sección trasversal sea como mínimo el 2% de las sección total del micropilote. Este tubo resulta indispensable para el tipo de pilotes inyectados IRS. El área de acero puede ser completada con 6 barras de acero de refuerzo Fy 420 MPa distribuidas en la sección del elemento. La lechada de inyección será de resistencia característica 21MPa como mínimo, tanto la presión como los volúmenes de inyección deben ser controlados a modo de garantizar la deformación deseada sobre el suelo circundante de los bulbos según el método de cálculo usado para la estimación de cargas.

Para casos en donde se requiera el uso de pilotes excavados y colados en sitio, la tablas siguientes muestran sus capacidades para diámetros de 40 y 60 cm por fricción y por punta para cotas de asiento de entre -10 m considerando factores de seguridad de 2, 3 y 5. Estos valores han sido determinados, por fricción según el método " $\alpha$ " y por punta según lo propuesto por MEYERHOF se han despreciado tensiones por fricción de los primeros metros de material cohesivo.

Tabla 23 Capacidades para Pilotes de 40 cm de Diámetro y Cotas de Asiento entre -10 m.

			_	FS =	FS =	FS =
Prof.	Qs Acumulada o	Qp para cada asiento	Qu (Ton)	2	3	5
1101.	Total (Ton)	Ton	Qu (1011)	Q adm	Q adm	Q adm
				(ton)	(ton)	(ton)
10	11,5	115,3	126,8	63,4	42,3	25,4

Tabla 24 Capacidades para Pilotes de 60 cm de Diámetro y Cotas de Asiento -10 m.

				FS =	FS =	FS =	
Prof.	Qs Acumulada o	Qp para cada asiento	Qu (Ton)	2	3	5	
FIUI.	Total (Ton)	Ton	Qu (1011)	Q adm	Q adm	Q adm	_
				(ton)	(ton)	(ton)	
10	17,7	259,5	277,1	138,6	92,4	55,4	

Para los casos máximos de carga de estos pilotes, 40 y 60 cm de diámetro, se obtienen deformaciones o asentamientos de entre 27 y 38 mm para el FS mas conservador de las tablas anteriores.



**Cliente:** OPISU **Fecha:** 06-12-24 **OT**: 22578-24 **Página** 25 de 36

# 5. PARAMETROS QUIMICOS, AIRE, AGUA Y SUELOS.

Tal y como ha sido expresado con anterioridad, se han realizado mediciones de parámetros químicos que pueden estar vinculados con contaminantes, que sean perjudiciales para la salud o alterar la estabilidad química de los materiales que forman parte de los sistemas constructivos convencionales.

Se determinan en este sentido parámetros del aire como CO2, 03, HCHO (Formaldehido) y TVOC (Concentración Total de Compuestos Orgánicos Volátiles) en todos los casos con mediciones directas en sitio. Así mismo se determinan contenidos de cloruros, sulfatos e hidrocarburos totales como parámetros sobre el agua de napa y suelos que son considerados como contaminantes o como agresivos en especial con estructuras de hormigón armado

No se verifican parámetros sobre el aire CO, O3, que puedan superar lo expresado en el Anexo II de la ley 20284 para tiempos de medición próximos a 1 h. Así mismo valores de CO2, HCHO y TVOC en todos los casos se encuentran rangos asociados a calidad del aires aceptable.

En relación al agua de napa y su vinculación con químicos solubles, se ha determinado el contenido hidrocarburos totales asociados al petróleo y en todos los casos los valores hallados son < 0.01 ppm. Contenidos de cloruros y sulfatos solubles en muestras de agua de napa se obtienen en promedios de 85 y 115 ppm respectivamente siendo inferiores a los valores limites permisibles expresados en el CIRSOC 201:2005 para estructuras de hormigón armado en contacto.

# 6. ESTRUCTURAS DE PAVIMENTOS

Tal y como ha sido comentado en el alcance de este estudio, se planifica a partir de las propiedades obtenidas del suelo, realizar una propuesta de estructura de pavimento atendiendo metodología AASHTO 93. En tal sentido se muestran a continuación consideraciones y resultados de esta fase del estudio.

Para esta fase es importante definir aspectos que tienen que ver con el uso, transito, la vida útil y la durabilidad que se espera de los pavimentos. Se espera del proyecto una vida útil o de servicio de 30 años con uso industrial o con posibilidad de esta

Se han considerado lasa cargas tipo de transito según se presentan en tabla a continuación con frecuencias típicas o probables estimadas.

Se plantea que las soluciones en términos de estructura de pavimentos estén basadas en Pavimentos rígidos o pavimentos de hormigón debido a las baja capacidad de soporte de la rasante medida a través del parámetros CBR. Propuestas con pavimentos flexible incurren en preparaciones de espesores muy superiores del paquete estructural y con materiales de prestamos de mayor prestación.







**Cliente**: OPISU **Fecha**: 06-12-24 **OT**: 22578-24 **Página** 26 de 36

Tabla 25 Cargas Equivalentes para Diseño de Pavimentos

Clase	Tipo	Factor Daño Mas Desfavorable.	Cantidad Diaria	Cantidad x Factor Daño	
A(Auto)	Auto	0	80		
	Buseta	0,05	3	0,15	
B(Buses)	Bus	0,4	3	1,2	
D(Duses)	Bus metropolitano	1		0	
	Bus Alimentador	2,51		0	
	C2P	1,14	4	4,56	
1 1	C2G	3,44	4	13,76	
1 1	C3	3,76	4	15,04	
1 1	C2-S1	3,37	4	13,48	
C(Camiones	C4	6,73	4	26,92	
1 1	C3-S1	2,33	4	9,32	
1 1	C2-S2	3,42	4	13,68	
1 1	C3-S2	4,4	4	17,6	
	C3-S3	5,31	4	21,24	
		Total (TPD) =	122	FC = 3,26071	
Porcentaje de Vehiculo Pesado k1=			34,43	%	
Factor Carril k2 =			100	% se considera solo 2 Carrile	
	Period	do de Diseño n =	30	años	
	Factor de Crecir	nientos Anual r =	0,025	(2,5% anual)	

$$N = TPD \times \frac{k_1}{100} \times \frac{k_2}{100} \times 365 \times \frac{(1+r)^n - 1}{\ln(1+r)} \times FC$$

N = \\18 = 2221872

Se manejan en el diseño factores de confiabilidad del 85% en función de W18 obtenido a lo que le corresponde un Zr de -1,037.

Tabla 26 Valores de Confiabilidad Según Tipo de Proyecto.

Tipo de pavimento	Confiabilidad R
Autopistas	95%
Carreteras	80%
Rurales	70%
Zonas industriales	65%
Urbanas principales	60%
Urbanas secundarias	50%

Tabla 27 Valores de Confiabilidad Según AASHTO 93

Tine de corretore	Nivel de confiabilidad R (%)			
Tipo de carretera	Urbana	Interurbana		
Autopistas y carreteras importantes	85.0 - 99.9	80.0 - 99.9		
Arterias principales	80.0 - 99.9	75.0 - 95.0		
Colectoras	80.0 - 95.0	75.0 - 95.0		
Locales	50.0 - 80.0	50.0 - 80.0		







**Cliente:** OPISU **Fecha:** 06-12-24 **OT**: 22578-24 **Página** 27 de 36

Tabla 28 Valores de Confiabilidad Según AASHTO 93

R (%)	50	70	75	80	85	90	92	94	95	98	99.99
Zr	0.000	-0.524	-0.674	-0.841	-1.037	-1.282	-1.405	-1.555	-1.645	-2.054	-3.750

**Tabla 29. Error normal Combinado** 

	S			
Proyecto de pavimento	Flexible	Rígido		
	0.40 - 0.50	0.30 - 0.40		
Construcción nueva	0.45	0.35		
Sobrecapas	0.50	0.40		

Así mismo se definen en función de la tipología del pavimento y si es construcción nueva o reparaciones, el error normal combinado "So" que para este caso resulta 0,35 que representa la variabilidad que pudiesen tener las condiciones del ambiente, los materiales y el tránsito.

Otro de los valores estadísticos a ser considerados en el método de diseño es la serviciabilidad; se espera una serviciabilidad inicial de Po =  $4.2\,$  y final Pf = 3 para ser más exigente en el diseño final, ( $\Delta$ PSI=1.2)

A diferencia del diseño de pavimento flexible, la variable resistente del suelo para el diseño de pavimento rígido esta asociada al modulo de reacción (K). El método AASHTO 93 presenta 2 ecuaciones empíricas para estimar este valor a partir del CBR, Si bien en la tabla 17 de este informe se han expresado valores de K para rasantes o materiales existentes, en esta sección se hace un cálculo y análisis más exhausto y estadístico de esta variable siendo una de las mas determinantes en el calculo de pavimentos rígidos. Es de notar que para valores de CBR obtenidos por correlación en muestras de suelos exploradas en los primeros metros, menores al 5%, le corresponde un valor de K de 1.03 kg/cm2/cm.

$$K = 2.55 + 52.5 \cdot \log(CBR)$$
,  $CBR \le 10\%$ 

$$K = 46 + 9.08 \cdot [\log(CBR)]^{4.34}$$

A partir de estos valores, se planifica que la subrasante pueda ser mejorada o estabilizada con cemento y aumentar así el modulo de balasto.

Para el diseño del pavimento, se considera un K de subrasante mínimo 20 MPa/m (2kg/cm2/cm) que pasaría a 80 MPa/m (300 pci) por contemplar la colocación de una base estabilizada con cemento hidráulicos de espesor 20 cm. Se considera que el material existente (CH) (A-6) pueda ser estabilizado con cemento ofreciendo mejores prestaciones en términos de rigidez.

Material A-6, Suelo Natural Estabilizado con 8% de Cemento. Resistencia a la Compresión en probetas a 7 Días = 2.14 MPa Coeficiente de Balasto o Módulo de Reacción según AASTHO 93 = 6 y 13.5 kg/cm2/cm (60-135 MPa/m) dependiendo del espesor.



 Cliente: OPISU
 Fecha: 06-12-24

 OT: 22578-24
 Página 28 de 36

Tabla 30. Coeficientes de balasto para Bases Estabilizadas y No Estabilizadas con Cemento.

Fuente AASTHO 93

					V	alores de K			
K subra	K subrasante		Capa granular no tratada						
			:m	15 (	:m	22.5	m	30 cr	n
MPa/m	pci	MPa/m	pci	MPa/m	Pci	MPa/m	pci	MPa/m	pci
20	73	23	85	26	96	32	117	38	140
40	147	45	165	49	180	57	210	66	245
60	220	64	235	66	245	76	280	90	330
80	295	87	320	90	330	100	370	117	430
K subra	sante		Ca	pa estak	ilizada	con cemen	tante hi	dráulico	
MPa/m	pci	10 c	m	15 c	m	20 cı	n	25 cı	n
20	73	60	220	80	300	105	400	135	500
40	147	100	370	130	500	185	680	230	850
60	220	140	520	190	700	245	900	-	-

Siendo el hormigón para esta tipología de pavimento, el encargado de transmitir las cargas a las distintas capas de suelo, las características de este son fundamentales en el diseño. En este sentido el Modulo de Rotura (Mr) y el Modulo de Elasticidad (Ec) del concreto son variables a definir y que específicamente están relacionada con la calidad y resistencia a la comprensión del hormigón. El método AASTHO detalla algunas correlaciones que permiten estimar estos valores. La tabla a continuación expresa valores mínimos de resistencia a la flexo tracción o módulo de rotura mínimos en función del nivel de transito siendo NT3 aquel cuyo W18 > 5.000.000,00. Las especificaciones de proyecto han reflejado un rango de este parámetro entre 4.4 y 5.4 MPa (638 – 783 psi) a la edad de 28 días. Para estos valores de modulo de rotura se ha contemplado un hormigón de resistencia a la compresión a la edad de 28 días de 35 MPa y un módulo de elasticidad de 4 x 10<sup>6</sup> psi.

Tabla 31. Módulos de rotura según Nivel de Tránsito.

Nivel de tránsito	Resistencia a la flexotracción (MPa)
NT1	3.8
NT2	4.0
NT3	4.2

Tabla 32. Correlaciones para Módulos de Elasticidad en Función del Tipo de Árido y la Resistencia a la Compresión del Hormigón.

Tipo de agregado y	Módulo de elasticidad (Ec)			
origen	En MPa	En kg/cm <sup>2</sup>		
Grueso – Ígneo	$5500\sqrt{f_c}'$	$17500\sqrt{f_c}$		
Grueso – Metamórfico	$4700\sqrt{f_c}'$	$15000\sqrt{f_c}$		
Grueso – Sedimentario	$3600\sqrt{f_c}'$	$11500\sqrt{f_c}$		
Sin información	$3900\sqrt{f_c}'$	$12500\sqrt{f_c}$		



 Cliente: OPISU
 Fecha: 06-12-24

 OT: 22578-24
 Página 29 de 36

En cuanto al Drenaje, se especifica según proyecto un drenaje excelente de este modo el coeficiente de drenaje es de "cd" = 1.10.

Tabla 33. Coeficientes cd para Pavimentos Rígidos en Función de la Calidad del Drenaje y el Tiempo de Explosión al Agua en el Año.

Características del drenaje	Porcentaje del tiempo que la estructura del pavimento está expuesta a grados de humedad próxima a la saturación					
	Menos del 1%	1 - 5%	5 - 25%	Mas del 25%		
Excelente	1.25 - 1.20	1.20 - 1.15	1.15 - 1.10	1.10		
Bueno	1.20 - 1.15	1.15 - 1.10	1.10 - 1.00	1.00		
Regular	1.15 - 1.10	1.10 - 1.00	1.00 - 0.90	0.90		
Pobre	1.10 - 1.00	1.00 - 0.90	0.90 - 0.80	0.80		
Muy malo	1.00 - 0.90	0.90 - 0.80	0.80 - 0.70	0.70		

Valores de Coeficiente de drenaje (Cd)

Tabla 34. Coeficiente J dependiente de la situación de transferencia de carga entre losas.

Condición	J
Junta con pasadores – Losa confinada	2.7
Junta con pasadores – Losa no confinada	3.2
Junta sin pasadores – Losa confinada	4.2
Junta sin pasadores – Losa no confinada	4.4

Como ultima variable a considerar en el método, "J" dependiente del sistema de trasferencia de cargas entre losas. La configuración del pavimento contempla la colocación de pasadores en junta y situación de no confinamiento para un valor de "J" de 3.2.

Finalmente habiendo definido y calculado todos los aspectos asociados al método para determinar el espesor de la losa de hormigón, las alternativas considerando apoyo directo en subrasante, apoyo en base granular no tratada (e = 15cm) y apoyo en base estabilizada con cemento (e =15cm) deriva espesores de hormigón que oscilan entre 8.45 y 7.72 Pulgadas, 21.46 y 19.61 cm respectivamente, siendo el menor espesor calculado aquel cuyo apoyo es sobre 15 cm de base de suelos estabilizado con 8% de cemento.

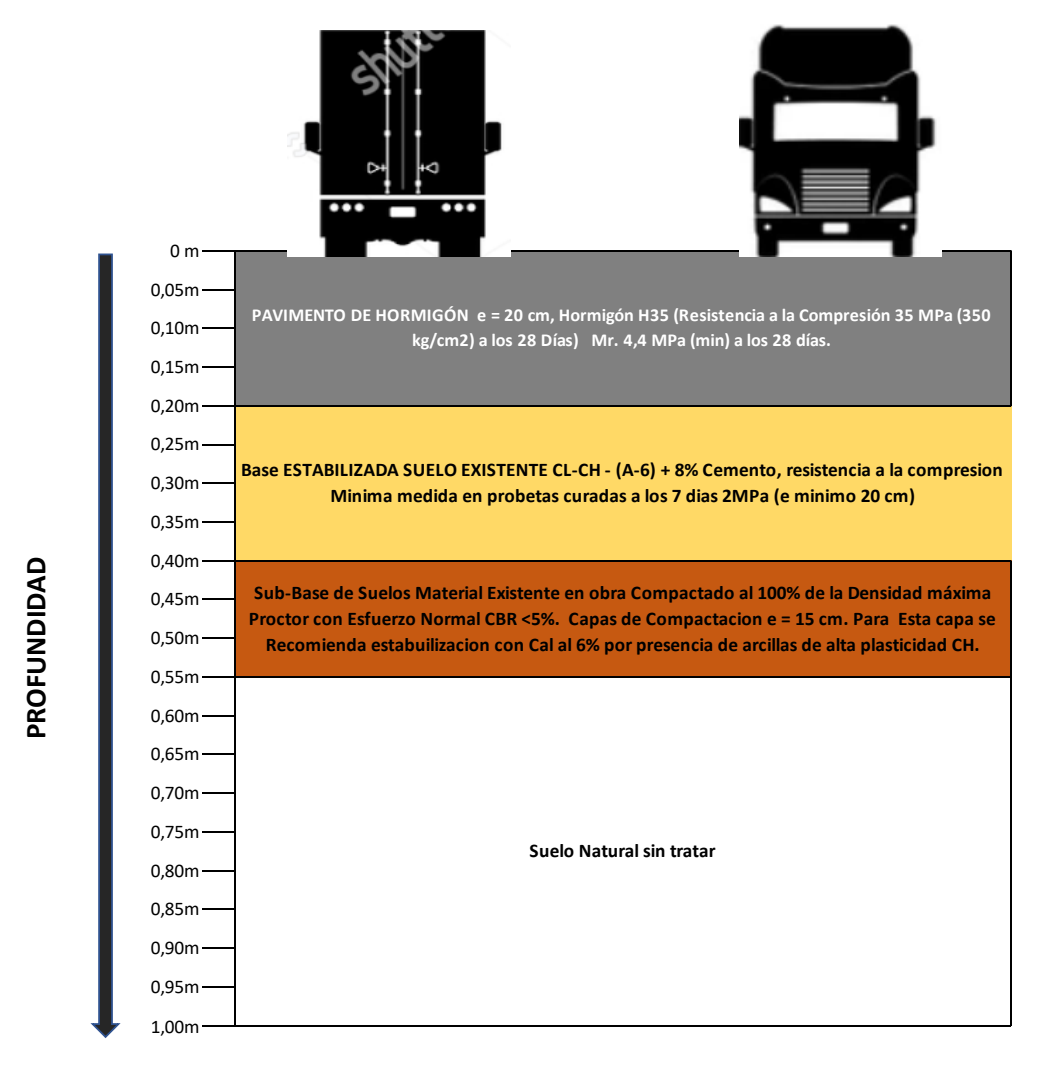
Atendiendo la variabilidad en los materiales, suelos, superficiales a intervenir para la construcción de estos pavimentos siendo además en gran parte materiales arcillosos con plasticidades importantes, la estructura del mismo deberá estar compuesta y preparada como se muestran en grafico y/o esquema a continuación.



 Cliente: OPISU
 Fecha: 06-12-24

 OT: 22578-24
 Página 30 de 36

Esquema 1. Alternativa Estructura de Pavimento Rígido.



Del diseño del pavimento rígido, es necesario además presentar configuración de losas, espaciamiento dimensión y largo de pasadores de corte y el requerimiento o no de acero de conexión entre losas paralelas. En este sentido el método expresa los siguientes criterios:

a) Tamaño de losas, el menor de los siguientes criterios.

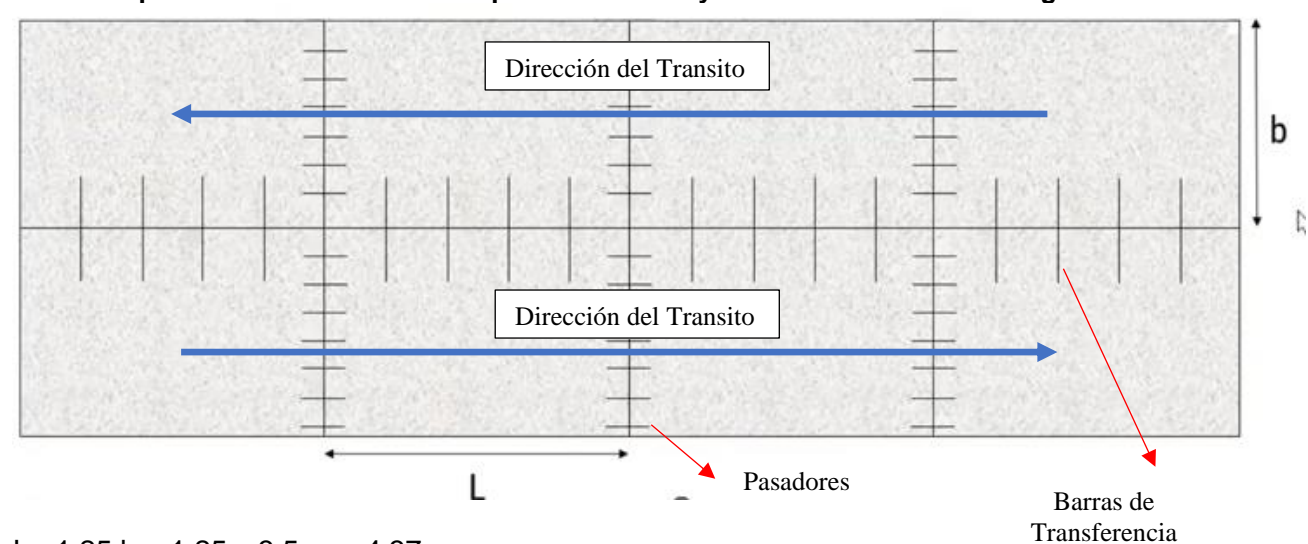
$$L_{m\acute{a}x} = 1.25 \cdot b \qquad L_{m\acute{a}x} = 25 \cdot h \qquad L_{m\acute{a}x} = 6 m$$



 Cliente: OPISU
 Fecha: 06-12-24

 OT: 22578-24
 Página 31 de 36

Esquema 2. Vista en Planta Esquema de Losas y Refuerzos Pavimentos Rígidos.



L= 1.25 b = 1.25 x 3.5 m = 4.37 m.

 $L= 25 \times 0.22 = 5.50 \text{ m}.$ 

Lmax = 6 m.

Estos valores podrían además comparase con los recomendados según el métodos ICPA según tabla a continuación. Las magnitudes de separación entre juntas están asociadas a tensiones en tracción a las que se somete el hormigón por un proceso de contracción por secado y tienen una validez siempre que el hormigón este correctamente dosificado, con asentamiento adecuado, sin exceso de agua y sin exceso de finos contenidos en sus áridos que puedan generar, todos en combinación, agrietamiento por contracción plástica.

Tabla 35. Máxima separación entre juntas para pavimentos Según Portland Cement Association

	Máxima separación recomendada entre juntas [m]					
Espesor de la losa [cm]	Hormigón con entre 10	Hormigón cor				
parity	Agregado Grueso Tmáx ≤ 19 mm	Agregado Grueso Tmáx > 19 mm	As < 10 cm			
12,5	3.00	4,00	4,50			
15,0	3,60	4,50	5,50			
17,5	4,30	5,50	6,40			
20,0	4,90	6,00	7,30			
22,5	5,50	7,00	8,20			
25.0	6,00	7,30	9,10			

# b) Dimensión y Separación Pasadores

Los pasadores cumplen la función de transmitir cargas de corte entre paños o tramos de losa sin que exista un a transmisión de tensiones en tracción o compresión por contracción del pavimento. En este sentido debe ser barras lisas y con un material desvinculante de adherencia longitudinal con el hormigón. Para losas de espesor 22 cm el método AASHTO 90 recomienda pasadores de diámetro 1 1/8" de longitud 40 cm y separación 30 cm. El pasador estará integrado entre losas





 Cliente: OPISU
 Fecha: 06-12-24

 OT: 22578-24
 Página 32 de 36

continuas 20 cm en cada una y siempre en la dirección del tránsito. Cuando las losas no sean hormigonadas de modo intercalado, los pasadores deberán ubicarse con dispositivos como se muestra en esquema 4 y deberán estar bien replanteados para realizar el aserrado de la junta de hormigón a la edad que especifique el diseño y dosificación de este, simplemente escasas horas luego de colado justo al cierre del tiempo de fraguado.

Tabla 36. Separación, Longitud y Diámetro de Pasadores en Función del espesor de Hormigón.

		9•	
Espesor de losa (cm)	Diámetro del pasador (")	Longitud del pasador (cm)	Separación entre barras (cm)
14 - 15	3/4	35	
16 - 18	7/8	35	
19 - 20	1	35	
21 - 23	1 1/8	40	30
24 - 25	1 1/4	45	
26 - 28	1 3/8	45	
29 - 30	1 1/2	50	

Imagen 2. Vista Tipo de Pasadores en Losas que se Hormigonan de Modo Intercalado.



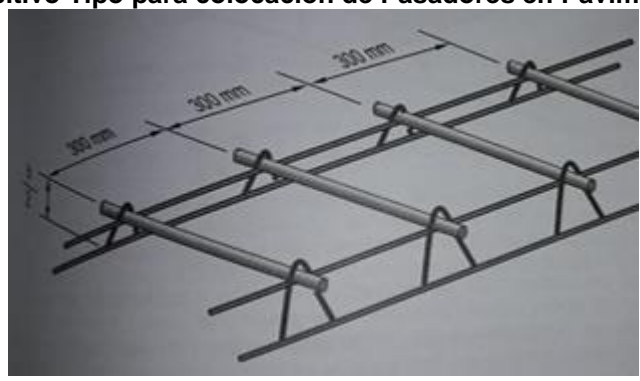




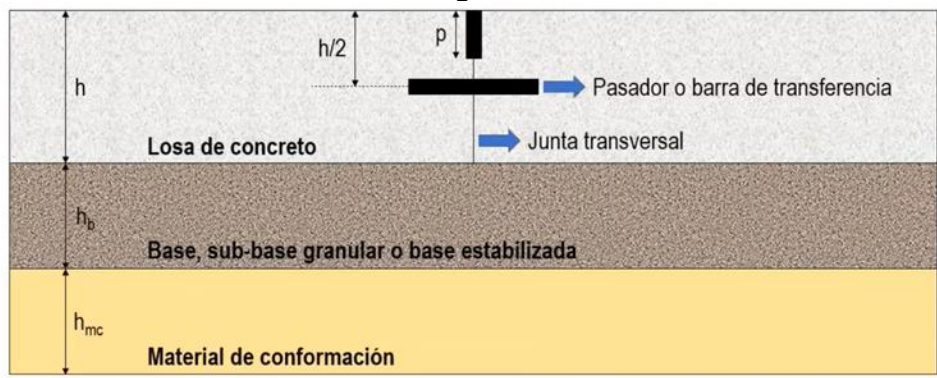
 Cliente: OPISU
 Fecha: 06-12-24

 OT: 22578-24
 Página 33 de 36

Esquema 3. Dispositivo Tipo para colocación de Pasadores en Pavimentos de hormigón .



Esquema 4. Corte de Pavimento, Detalle y Ubicación de Pasadores en la Sección de Hormigón.



# c) Barras de Anclaje.

Se denominan así aquellas barras que, en tramos de vialidad rectos, vinculan losas paralelas de los dos sentidos, barras perpendiculares a la dirección del transito y que si deben estar adheridas al hormigón. Barras con resalte. Para losas de  $b=3.35\,\mathrm{m}$  (mas aproximada), espesor 22.5 cm, diámetro de varillas de anclajes 3/8", deberán disponerse varillas de longitud 45 cm espaciadas a cada 50 cm; o ; varillas de anclajes de diámetro  $\frac{1}{2}$ " de longitud 60 cm espaciadas a cada 85 cm; o; varillas de anclajes de diámetro 5/8" de longitud 70 cm espaciadas a cada 120 cm.

Tabla 37. Separación, Longitud y Diámetro de Barras de Anclaje

	Barra de φ3/8"				Barra de φ1/2"				Barra de φ5/8"			
H (cm)	L (cm)	S (cm)				S (cm)				S (cm)		
		3.05	3.35	3.65	L (CIII)	3.05	3.35	3.65	L (CIII)	3.05	3.35	3.65
15.0		80	75	65		120	120	120		120	120	120
17.5		70	60	55		120	110	100		120	120	120
20.0	45	60	55	50	60	105	100	90	70	120	120	120
22.5	ш	55	50	45	ш	95	85	80	السا	120	120	120
25.0		45	45	40		85	80	70		120	120	120

Ancho tipico de la via Largo de la Varilla



**Cliente:** OPISU **Fecha:** 06-12-24 **OT**: 22578-24 **Página** 34 de 36

En caso de áreas de estacionamientos, las varillas de anclaje son sustituidas por pasadores, de modo que las losas tendrán pasadores en sus cuatro bordes a excepción de losas perimetrales. En estos casos debe respetarse la menor dimensión entre L y b en cuanto a tamaño de losa.

# 7. CONCLUSIONES Y RECOMENDACIONES

Para la evaluación realizada, luego de analizar la composición y características del subsuelo hasta 10 m de profundidad, se expresan las siguientes conclusiones:

En la exploración de modo general en los dos primeros metros de perforación se destacan arcillas de baja plasticidad firmes, posteriormente hay predominancia de suelos limosos arenosos medianamente densos y duros.

Nivel freático detectado a -1.5 m de profundidad. No hay presencia de suelos con características expansivas.

A continuación, se detallan consideraciones para las distintas tipologías de fundaciones recomendadas o verificadas en la obra de referencia.

- Fundaciones en platea rígida o rigidizada con vigas de riostra, considerar un Módulo de Balasto de 1 kg/cm2/cm ya afectado por factores de seguridad. En caso de requerir fundaciones directas aisladas, las tensiones admisibles sobre el suelo de fundación para esta tipología según la tabla 17 no superaran los 0,30 kg/cm2 para cotas de fundación de entre -1 y -2 m, se aclara que este tipo de fundaciones, zapatas aisladas, no resulta conveniente en la zona de exploración; se recomienda que en caso de requerir fundaciones superficiales se planifique el diseño de losas de fundaciones o plateas rigidizadas atendiendo tensiones admisible mencionadas y siguiendo recomendaciones de preparación de suelos de contacto como se expresa mas adelante en esta sección.
- El sistema de fundaciones podrá estar fundamentado en micropilotes IRS, se recomienda realizarlos con profundidades de hasta 10 m con 8 bulbos a partir del 2 m tal y como se expresa en la tabla 21 y 22 de este documento. Estos elementos tendrán capacidades admisibles de entre 2 y 36 Toneladas para micropilotes de entre 20 y 25 cm de diámetros y para cotas de asiento de entre 2 y 10 m. Estas capacidades son exclusivas para micropilotes IRS, inyectados.
- En caso de requerir fundaciones profundas de tipo pilotes excavados y colados en sitio, se muestran capacidades admisibles en las tablas 23 y 24 para pilotes de 40 y 60 cm de diámetro y con cotas de asiento de -10 m. Sobre estos elementos se obtienen capacidades de entre 25 y 55 Toneladas dependiendo de la profundidad, diámetro para un factor de seguridad conservador. Para el prediseño de estos elementos se ha despreciado el posible aporte por fricción del espesor de arcilla en los primeros metros de exploración.
- Para el momento de este estudio, nuestro equipo desconoce el análisis de carga cualquier edificación que pudiese proyectarse o verificarse en el sector y los detalles de un posible



 Cliente: OPISU
 Fecha: 06-12-24

 OT: 22578-24
 Página 35 de 36

nuevo proyecto; en este sentido resulta de mucha importancia se contrasten las cargas de servicio en los casos extremos de carga de la edificación con los esfuerzos admisibles del suelo recomendados en este estudio.

- En caso de seleccionar sistemas de fundaciones directas, tipo plateas, de modo constructivo, previa la ejecución del sistema de fundaciones, al menos en el primer metro de suelos deben aplicarse mejoras según se detalla. La Platea preferiblemente Rígida o Rigidizada con Vigas de Riostra cuyos ejes coincidan con las columnas o apoyos de la edificación o módulo, debe considerar una máxima transmisión de esfuerzos al suelo en cota de asiento para un módulo de balasto k respectivo. A modo de garantizar la uniformidad en el suelo de asiento, se apunta a recomendación dada en términos de sustituir y compactar al menos el 1er metro de material de contacto. La compactación se hará con un material clasificado HRB como A-1-b o similar compactado hasta lograr al menos 95% de la densidad máxima seca Proctor con esfuerzo modificado. Toda fundación de hormigón armado estará además precedida de un base granular de espesor mínimo 10 cm o de un hormigón pobre de resistencia característica 12 MPa a 28 días. Este sistema puede adoptarse en caso de requerir la construcción de piletas, o estangues de aqua, igualmente contemplando los módulos de balasto reflejados en la mencionada tabla en función de la cota de asiento. Esta sustitución y compactación de materiales podrá darse con suelos de menor calidad como A-4 estabilizados con cal o con cemento a porcentajes determinados en laboratorio; en estos casos deben ejecutarse los ensayos pertinentes para evaluar su estabilidad en presencia de agua y los parámetros de resistencia. En todo caso toda carpeta orgánica y/o espesores orgánicos, escombros, plásticos y/o residuos no deben formar parte del suelo de fundación. Esta actividad debe preceder todo inicio de trabajos relacionadas con la construcción de fundaciones.
- Para bases, losas de fundación se recomiendan hormigones comprobados según los requisitos de durabilidad expresados en el CIRSOC 201:2005 en términos de Penetración de agua a Presión y Velocidad de Succión Capilar. Estas condiciones resultan fundamentales de modo que el acero de refuerzo de estos elementos puedan estar alejados y/o fuera de contacto con la humedad del suelo que inicie o acelere su proceso de corrosión.
- Se entiende pueda existir la posibilidad de trabajar con grupo de micropilotes o pilotes; en este sentido es importante considerar la eficiencia del grupo en un 75% de la sumatoria de las capacidades individuales, siempre geométricamente ubicados a una separación mínima de 4 veces el diámetro nominal de los elementos.
- Es recomendable que al menos al 10% de los micropilotes construidos, si este fuese el sistema seleccionado, sean evaluados con una prueba de estática en donde se alcance al menos el 50% por encima de la carga admisible reportada en este informe. La construcción de este tipo de elementos genera una incertidumbre que solo puede ser mitigada con este tipo de ensayos.
- En el proceso constructivo de micropilotes, debe verificarse que la presión de inyección de los bulbos no sea inferior a 0,25 MPa (2,5 Kg/cm2) y/o el volumen de inyección no sea inferior a 50 Litros.
- No se verifican contaminantes en agua, suelos y aire. No se verifican contenidos de sulfatos y cloruros en el suelo y agua de napa que afecten la estabilidad química de la



 Cliente: OPISU
 Fecha: 06-12-24

 OT: 22578-24
 Página 36 de 36

estructuras hormigón armado o que requieran la implementación de hormigones con características especiales.

 Se presenta para este estudio propuesta de estructura de pavimento rígido según esquema 1 de este documento.

# 8. BIBLIOGRAFÍA

- [1] ASTM D 1586 Standard Test Method for Penetration Test and Split-Barrel Sampling of Soils.
- [2] BRAJA, Das. Principios de Ingeniería de Cimentaciones
- [3] PIETRO De Marco, Caracterización geotécnica del subsuelo mediante sondeos exploratorios. Del Estado del Arte a la Práctica.
- [4] Diseño de Micropilotes Michel Bustamante 1985
- [5] Trenching and Shoring Manual. State Of California. Department of Transportation

Trabajo de Campo y Laboratorio. Ing. David de Jesus, Tec. Deivy De Jesus, MMO Mia Miño. Informe y Análisis. Ing. David de Jesus, Ing. Jesus Rojas.

Ing. Jesús Rojas Gerente de Calidad

Ing. Humberto M. Balzamo Gerente Técnico

Jem 4 Setrom



# GOBIERNO DE LA PROVINCIA DE BUENOS AIRES 2025-Centenario de la Refinería YPF La Plata: Emblema de la Soberanía Energética Argentina

# Hoja Adicional de Firmas Informe gráfico

Número:			
<b>Referencia:</b> Estudio de suelos			

El documento fue importado por el sistema GEDO con un total de 36 pagina/s.